

**Санкт-Петербургский политехнический университет
Петра Великого**

Москалец Артем Анатольевич

**Прогнозирование вибрационного напряженно-деформированного
состояния турбинных лопаток с применением моделей различной
размерности**

Направление подготовки: 15.06.01 «Машиностроение»

Код и наименование

Направленность: 05.02.02 «Машиноведение, системы приводов и детали машин»

Код и наименование

НАУЧНЫЙ ДОКЛАД

об основных результатах научно-квалификационной работы (диссертации)

Санкт Петербург – 2019

Научно-квалификационная работа выполнена в Федеральном государственном автономном образовательном учреждении высшего образования «Санкт-Петербургский политехнический университет Петра Великого» на кафедре «Машиноведение и основы конструирования»

Научный руководитель: доктор физико-математических наук, доцент,
Беляев Александр Константинович

Официальный рецензент: кандидат технических наук, доцент,
Зиновьева Татьяна Владимировна,
старший научный сотрудник,
лаборатория мехатроники,
ФГБУН «ИПМаш РАН»

С научным докладом можно ознакомиться в библиотеке ФГАОУ ВО «Санкт-Петербургский политехнический университет Петра Великого»

ОБЩАЯ ХАРАКТЕРИСТИКА РАБОТЫ

Актуальность работы

Лопатка – важный и ответственный элемент турбины. Следует сразу оговорить, что в данной работе речь будет идти о рабочих лопатках, чья основная функция – преобразование энергии потока жидкости или газа в энергию вращения ротора. Слово «рабочий» будет далее опускаться.

Во время работы лопатка подвергается действию статических и динамических нагрузок. К первым относятся центробежные силы, ко вторым – силы воздействия, к примеру, струи пара со стороны сопла (причём, сопел может быть несколько). Очевидно, что такие динамические воздействия имеют периодический характер. Если частоты изменения нагрузок близки к собственным частотам лопатки, это приводит к увеличению амплитуд колебаний, динамических напряжений; становится возможным резонанс. Эти факторы, очевидно, приближают усталостное разрушение лопатки.

Поэтому всегда остаётся актуальным вопрос нахождения собственных частот и форм лопатки. Зная режимы, в которых будет работать лопатка проектируемой турбины, и вычислив собственные частоты лопатки, можно сделать вывод, возможны ли резонансы, и если да, то насколько опасны, и при необходимости внести изменения, например, в геометрию лопатки, «отстроив» её от определённых частот.

Цель работы. Разработка методики расчета колебаний и напряжённо-деформированного состояния рабочих лопаток турбин, основанной на использовании моделей различной размерности, служащей альтернативой иным методикам, в частности, основанным на методе конечных элементов; позволяющей верифицировать эти методики за отсутствием возможности сравнения с натурными испытаниями; дающей возможность сделать практические выводы на этапе проектирования лопатки.

Задачи исследования

1. Исследование турбинной лопатки с использованием одномерной математической модели

1.1. Построение одномерной модели с учетом сил инерции, сдвига и перекрестных связей.

1.2. Модальный анализ.

1.3. Расчёт вынужденных колебаний лопатки.

1.4. Анализ напряженно-деформированного состояния при вынужденных колебаниях.

1.5. Построение вибрационных диаграмм.

2. Исследование турбинной лопатки с использованием двумерной математической модели

2.1. Построение двумерной модели турбинной лопатки.

2.2. Модальный анализ.

2.3. Расчёт вынужденных колебаний лопатки.

2.4. Анализ напряженно-деформированного состояния при вынужденных колебаниях.

Научная новизна

1. Предлагается подход к моделированию колебаний лопаток, в основе которого лежит механика тонкостенных конструкций, как наиболее эффективный инструмент для исследования вибрационного напряжённо-деформированного состояния турбинных лопаток определённой конфигурации.
2. Предлагается подход к моделированию каплеударной эрозии, в основе которого лежит механика контактного взаимодействия.
3. Предложенный многомодельный подход к исследованию динамики турбинных лопаток опирается на прогресс в механике деформируемого тела и компьютерной математике.

Практическая ценность состоит в разработке методики расчета колебаний турбинных лопаток с использованием одномерных и двумерных моделей, разработке методики оценки напряженно-деформированного состояния лопатки, подверженной каплеударной эрозии, а также разработке численных алгоритмов для проведения соответствующих расчётов в системах компьютерной математики.

Апробация работы

Результаты работы доложены на конференциях:

- XII, XIII, XLIV Неделя науки СПбГПУ (Россия, г. Санкт-Петербург);
- 3-я, 4-я, 5-я, 6-я и 7-я Международная научно-практическая конференция «Современное машиностроение: наука и образование» (Россия, г. Санкт-Петербург)
- XII Международная научная конференция «Энергетические и теплотехнические процессы и оборудование» (Украина, г. Харьков)
- 17th international symposium «Topical problems in the field of electrical and power engineering» (Эстония, г. Куресааре)
- International Summer School-Conference «Advanced Problems in Mechanics» (Россия, г. Санкт-Петербург)

Публикации

По теме работы имеется 18 публикаций, из которых 3 – в журналах из перечня ВАК РФ и 6 – в изданиях, индексируемых Scopus.

Представление научного доклада: основные положения

1. Постановка и решение задачи динамики турбинных лопаток как стержней, методом решения системы дифференциальных уравнений механики стержня.
2. Постановка и решение задачи динамики турбинных лопаток как оболочек, с использованием уравнений Лагранжа.
3. Методика построения вибрационных диаграмм.
4. Математическая модель и расчет взаимодействия капли и поверхности лопатки.

СОДЕРЖАНИЕ РАБОТЫ

Объектом исследования данной работы является лопатка газотурбинной установки.

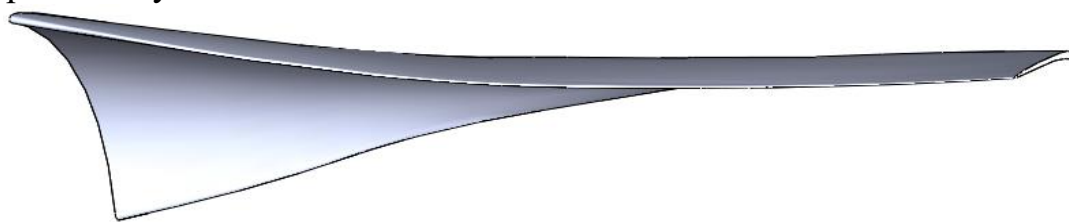


Рисунок 1. Трёхмерная модель исследуемой лопатки

Анализ напряженно-деформированного состояния (НДС) турбинных лопаток продолжает привлекать внимание инженеров-механиков, но акценты в этой области смещаются. Сначала преобладали расчеты лопаток как балок, затем их стал вытеснять конечноэлементный анализ трехмерных моделей. Однако возможности одномерных моделей не исчерпаны. С ними можно решать задачи, недоступные в трехмерной постановке.

В данной работе турбинная лопатка рассматривается как прямолинейный закрученный стержень. Используется полная одномерная модель, учитывающая деформации изгиба, кручения и растяжения как взаимосвязанные. Связь изгиба и кручения возникает от несовпадения центра жесткости и центра тяжести сечения. Связь растяжения и кручения – от естественной крутки. Анализ такой непростой модели стал возможным благодаря прогрессу механики упругих стержней и компьютерной математики.

Полная одномерная модель стержня

Стержни представляются как материальные линии, для частиц которых задаются векторы перемещения $\mathbf{u}(z,t)$ и малого поворота $\boldsymbol{\theta}(z,t)$ (функции координаты и времени). Внутренние взаимодействия выражаются векторами силы $\mathbf{Q}(z,t)$ и момента $\mathbf{M}(z,t)$. Полная система уравнений линейной механики упругих стержней имеет вид [10]:

$$\begin{aligned} \mathbf{Q}' + \mathbf{q} &= \rho \ddot{\mathbf{u}}, \mathbf{M}' + \mathbf{k} \times \mathbf{Q} + \mathbf{m} = \mathbf{G} \cdot \ddot{\boldsymbol{\theta}}, \\ \boldsymbol{\theta}' &= \mathbf{A} \cdot \mathbf{M} + \mathbf{C} \cdot \mathbf{Q}, \mathbf{u}' = \boldsymbol{\theta} \times \mathbf{k} + \mathbf{B} \cdot \mathbf{Q} + \mathbf{M} \cdot \mathbf{C}. \end{aligned} \quad (1)$$

Два первых уравнения выражают законы баланса импульса и момента импульса. В них ρ – погонная масса, \mathbf{G} – тензор инерции, \mathbf{k} – орт касательной (оси z). Третье и четвертое уравнения – это соотношения упругости, связывающие векторы деформации $\boldsymbol{\theta}'$ и $\boldsymbol{\gamma} = \mathbf{u}' - \boldsymbol{\theta} \times \mathbf{k}$ с силовыми факторами. Отметим, что вектор деформации $\boldsymbol{\theta}'$ определяет искривление и кручение стержня, а вектор $\boldsymbol{\gamma}$ – растяжение (сжатие) и поперечный сдвиг. В соотношения упругости входят три тензора податливости: \mathbf{A} – на изгиб и кручение, \mathbf{B} – на растяжение и сдвиг, \mathbf{C} – тензор перекрестных связей.

Нагрузками в (1) служат сила \mathbf{q} и момент \mathbf{m} на единицу длины. Они считаются малыми в рассматриваемой линейной теории – как и $\mathbf{u}, \boldsymbol{\theta}, \mathbf{Q}, \mathbf{M}$.

Тогда $\mathbf{G}, \mathbf{A}, \mathbf{B}, \mathbf{C}$ соответствуют начальному (недеформированному) состоянию и не зависят от времени.

Тензоры податливости $\mathbf{A}, \mathbf{B}, \mathbf{C}$ находятся средствами теории упругости – из решения задачи Сен-Венана или же (что сложнее) из асимптотического анализа трехмерной задачи при малой толщине. Их расчет – отдельная тема за рамками данной работы.

Модель с уравнениями (1) называется полной, поскольку описывает изгиб, кручение и растяжение стержня как взаимосвязанные деформации. Определяемые тензором \mathbf{C} перекрестные связи возникают от смещения центра жесткости и от крутки. Следствием этих связей являются одновременные изгиб, кручение и растяжение лопатки практически при любой нагрузке.

Цель данной работы – представление полной одномерной модели лопатки и методики ее расчета с применением компьютерной математики, а также оценка влияния связей на НДС.

Соотношения упругости

Главные направления тензора инерции поворачиваются относительно начальных (при $z=0$) на угол $\varphi(z)$. Вводится крутка $\Omega = \varphi'(z)$. Для прямолинейного стержня из обобщенной задачи Сен-Венана установлено:

$$\mathbf{A} = (EI)^{-1} + A_z \mathbf{k}\mathbf{k}, \quad \mathbf{B} = (\mu FK)^{-1} + B_z \mathbf{k}\mathbf{k}, \quad \mathbf{C} = A_z \mathbf{k}\boldsymbol{\eta} + C_z \mathbf{k}\mathbf{k} \quad (2)$$

Здесь $\mathbf{J} = \int \mathbf{x}\mathbf{x}dF$, $J = \text{tr}\underline{\mathbf{J}}$, $\mathbf{I} = -\mathbf{k} \times \mathbf{J} \times \mathbf{k}$ – геометрические моменты инерции (\mathbf{x} – радиус-вектор в сечении); видим известные выражения податливости на изгиб $(EI)^{-1}$ и на растяжение (сжатие) $B_z = (EF)^{-1}$.

В (2) входят также геометрическая жесткость на кручение C_Φ , вектор координат центра изгиба $\boldsymbol{\eta}$ и коэффициент связи растяжения с кручением C_z . Их определение сопряжено с решением задачи кручения [10,12]:

$$\begin{aligned} \Delta\Phi = -2, \quad \Phi|_{\partial F} = 0; \quad \Delta W = 0, \quad \partial_n W = \mathbf{n} \times \mathbf{x} \cdot \mathbf{k}; \\ C_\Phi = 2 \int \Phi dF, \quad A_z = (\mu C_\Phi)^{-1}, \quad C_z = \Omega (\mu F)^{-1} (1 - JC_\Phi^{-1}), \quad (3) \\ \boldsymbol{\eta} = \mathbf{J}^{-1} \cdot \int \mathbf{x} W dF. \end{aligned}$$

При этом функцию депланации W можно определить без решения задачи Неймана (3), если воспользоваться условиями Коши-Римана для сопряженных гармонических функций:

$$\nabla W = \nabla \left(\Phi + \frac{x^2}{2} \right) \times \mathbf{k} \Rightarrow W = \int [(\partial_y \Phi + y)dx - (\partial_x \Phi + x)dy] \quad (4)$$

Также в уравнениях (2) содержится \mathbf{K} – тензор коэффициентов сдвига. Его определение связано с решением еще двух краевых задач для векторных полей в сечении. В рамках данной статьи \mathbf{K} принят единичным.

Для определения функции напряжения и деформации используем вариационный метод. Введем две функции $y_t(x)$, $y_l(x)$, графики которых ограничивают сечение «сверху» и «снизу». Приближенное решение будем искать в виде $\Phi = \alpha(y - y_t(x))(y - y_l(x)) = \alpha\Phi_0$. Неизвестный варьируемый коэффициент α находится минимизацией функционала

$$J = \int_F [|\nabla\Phi|^2 - 4\Phi] dF = \int_{x_0}^{x_1} dx \int_{y_l(x)}^{y_t(x)} (\alpha^2 |\nabla\Phi_0|^2 - 4\alpha\Phi_0) dy \rightarrow \min \Rightarrow$$

$$\Rightarrow \alpha = 2 \int_{x_0}^{x_1} dx \int_{y_l(x)}^{y_t(x)} \Phi_0 dy / \int_{x_0}^{x_1} dx \int_{y_l(x)}^{y_t(x)} |\nabla\Phi_0|^2 dy. \quad (5)$$

Тогда геометрическая жесткость на кручение $C_\Phi = 2\alpha \int_{x_0}^{x_1} dx \int_{y_l(x)}^{y_t(x)} \Phi_0 dy$.

Используя полученную функцию напряжений, определим деформацию W согласно (4): $W(x, y) = A \left(\int_{x_0}^x \partial_y \Phi_0 dx - \int_0^y \partial_x \Phi_0 dy \right) - xy$.

Контур сечения реальной лопатки задается массивом координат точек (около 30). Функции $y_t(x)$, $y_l(x)$ определяются в *Mathcad* интерполяцией с регрессией, после чего производится численное интегрирование и дифференцирование согласно (3), (7) и (9).

Система ОДУ и ее решение

В проекциях получаем систему:

$$\begin{aligned} Q'_x &= -q_x + \rho \ddot{u}_x, & Q'_y &= -q_y + \rho \ddot{u}_y, & Q'_z &= -q_z + \rho \ddot{u}_z, \\ M'_x &= Q_y - m_x + G_x \ddot{\theta}_x + G_{xy} \ddot{\theta}_y, & M'_y &= -Q_x - m_y + G_y \ddot{\theta}_y + G_{xy} \ddot{\theta}_x, \\ M'_z &= -m_z + G_z \ddot{\theta}_z, \\ \theta'_x &= A_x M_x + A_{xy} M_y, & \theta'_y &= A_y M_y + A_{xy} M_x, \\ \theta'_z &= A_z (M_z + \eta_x Q_x + \eta_y Q_y) + C_z Q_z, \\ u'_x &= \theta_y + B_x Q_x + B_{xy} Q_y + A_z \eta_x M_z, \\ u'_y &= -\theta_x + B_y Q_y + B_{xy} Q_x + A_z \eta_y M_z, & u'_z &= B_z Q_z + C_z M_z. \end{aligned} \quad (6)$$

При гармонических колебаниях с частотой λ неизвестные меняются по закону $u_x(z, t) = u_x(z) \sin \lambda t$, $\ddot{u}_x = -\lambda^2 u_x$, и для амплитуд получим систему ОДУ двенадцатого порядка.

Коэффициенты этих уравнений содержат компоненты векторов и тензоров, вращающихся с угловой скоростью Ω при возрастании координаты z . Формулы преобразования компонент:

$$\eta_x = \eta_1 \cos \varphi - \eta_2 \sin \varphi, \quad \eta_y = \eta_1 \sin \varphi + \eta_2 \cos \varphi;$$

$$I_{xy} = \frac{I_1 - I_2}{2} \sin 2\varphi + I_{12} \cos 2\varphi$$

$$I_x = \frac{I_1 + I_2}{2} + \frac{I_1 - I_2}{2} \cos 2\varphi - I_{12} \sin 2\varphi,$$

$$I_y = \frac{I_1 + I_2}{2} - \frac{I_1 - I_2}{2} \cos 2\varphi + I_{12} \sin 2\varphi.$$

(7)

Подставив это в (6), получим сложную систему ОДУ с переменными коэффициентами. Однако ее нетрудно решить средствами компьютерной математики (*Mathcad*). Система (6) представляется в матричном виде $Y' = D(z, Y)$, где столбец Y содержит 12 элементов – компонент силы, момента, поворота и перемещения (вид функции D ясен из (6)). К подчеркнутой системе ОДУ следует добавить краевые условия. Для консольной лопатки с закрепленным концом $z=0$ и свободным другим концом $z=L$ без нагрузки имеем условия $Y_9 = Y_{10} = Y_{11} = Y_6 = Y_7 = Y_8 = 0$ и $Y_0 = Y_1 = Y_2 = Y_3 = Y_4 = Y_5 = 0$ соответственно. Поставленная краевая задача решается посредством встроенной функции *sbval-rkfixed*.

По изложенной методике выполнены расчеты конкретной лопатки для одного из заводов СПб. Длина лопатки $L=781$ мм, сечение и нагрузки показаны на рис. 1:

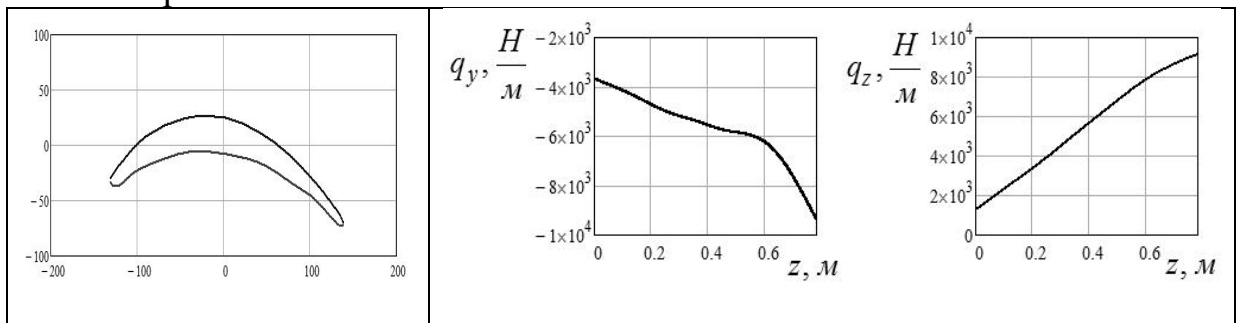


Рисунок 2. Сечение лопатки и распределенная нагрузка в двух плоскостях

Рассчитанные компоненты прогиба u_x, u_y , угол поворота θ_z и осевое перемещение u_z – на рис. 2. Учет последнего может быть важным – и не только от центробежной силы.

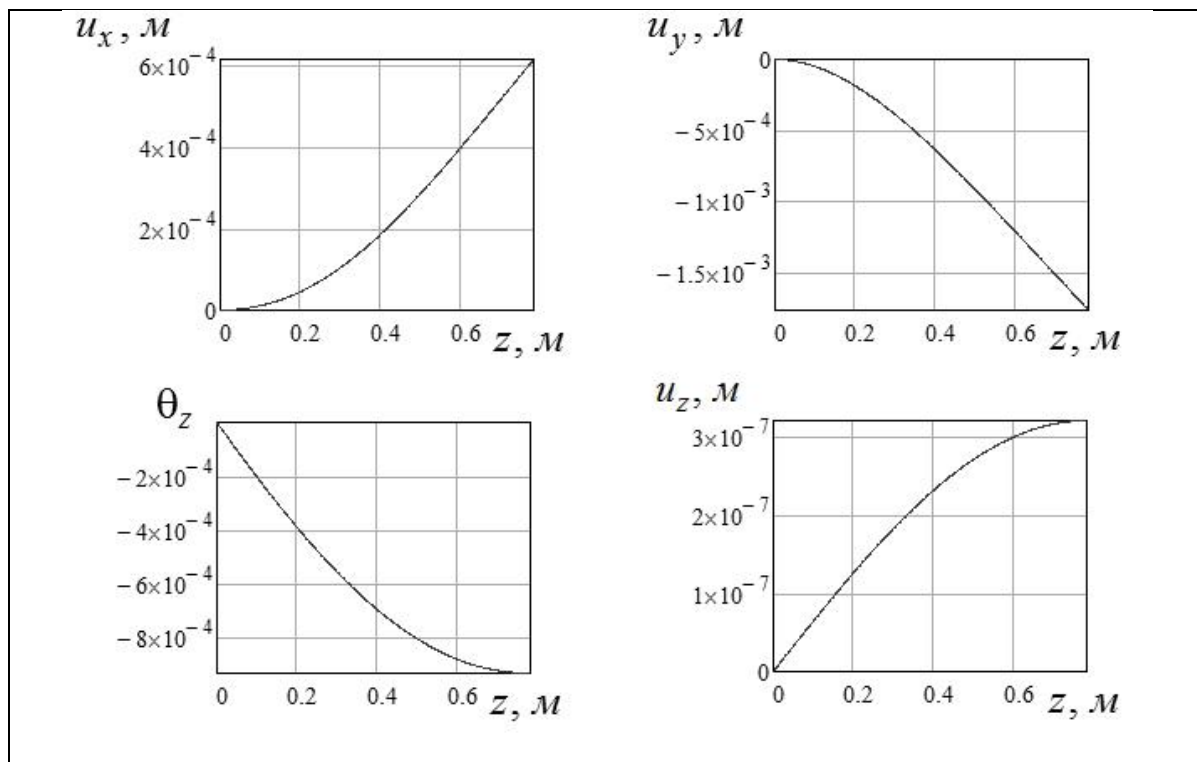


Рисунок 3. Амплитуды вынужденных колебаний

Для количественной оценки роли поправочных факторов проведены расчеты без учета поперечного сдвига и перекрестных связей в соотношениях упругости. Перерезывающие силы, изгибающие моменты и прогибы практически не изменились (менее 0.5 %), но исчезли осевое перемещение и поворот.

При модальном анализе частота рассматривается как дополнительное неизвестное: $\lambda^2 = Y_{12}, D_{12} = 0$; при этом имеем систему из тринадцати уравнений.

Вариационный метод расчёта колебаний

Предлагаемая методика опирается на теорию стержней и вариационный метод Лагранжа в сочетании с компьютерной математикой. Будучи простой, методика позволяет решать и сложные задачи о нестационарных колебаниях.

$$\int_0^l (f_y \delta u_y + f_z \delta u_z) dx = Q_y^T \delta U_y + Q_z^T \delta U_z, Q_y = \int_0^l f_y \varphi dx \quad (8)$$

Энергия лопатки

Введем тройку декартовых осей, направив ось x через центры тяжести сечений вдоль лопатки (считается, что центры тяжести принадлежат одной прямой). Прогиб закрученного стержня всегда имеет две компоненты u_y, u_z – функции координаты x и времени t . Кинетическая энергия является интегралом по длине лопатки

$$T = 1/2 \int_0^l \rho (\dot{u}_y^2 + \dot{u}_z^2) dx \quad (9)$$

где ρ – погонная масса.

Потенциальную энергию определим с обычным для теории балок допущением, что осевое перемещение при изгибе $u_x = -yu'_y - zu'_z$:

$$\Pi = E/2 \int_0^l dx \int_F u_x'^2 dF = E/2 \int_0^l (J_y u_y''^2 + 2J_{yz} u_y'' u_z'' + J_z u_z''^2) dx \quad (10)$$

(E – модуль Юнга). Введены моменты инерции как интегралы по сечению F
 $J_y = \int y^2 dF$, $J_{yz} = \int yz dF$, $J_z = \int z^2 dF$.

От модели с распределенными параметрами перейдем к дискретной посредством аппроксимации прогибов

$$u_y(x,t) = \sum_{k=1}^n U_{y_k}(t) \varphi_k(x) = U_y(t)^T \varphi(x), \quad u_z(x,t) = U_z(t)^T \varphi(x) \quad (11)$$

(в матричных обозначениях). Функции $U_{y,z}(t)$, характерные для метода Канторовича, играют роль обобщенных координат и подлежат определению из системы уравнений Лагранжа. Координатные функции $\varphi(x)$ задаются нами с соблюдением условий закрепления (заделка при $x = 0$). Примем

$$\varphi_i(x) = x^{1+i}, \quad i = 1, \dots, n \quad (12)$$

Подставив (11) в (9) и (10), получим кинетическую и потенциальную энергию дискретной модели лопатки

$$\begin{aligned} T &= 1/2 (\dot{U}_y^T m \dot{U}_y + \dot{U}_z^T m \dot{U}_z), \quad m = \int_0^l \rho \varphi \varphi^T dx; \\ \Pi &= 1/2 (U_y^T C_y U_y + 2U_y^T C_{yz} U_z + U_z^T C_z U_z), \\ C_y &= E \int_0^l J_y \varphi'' \varphi''^T dx, \quad C_{yz} = E \int_0^l J_{yz} \varphi'' \varphi''^T dx, \quad C_z = E \int_0^l J_z \varphi'' \varphi''^T dx \end{aligned} \quad (13)$$

с матрицами жесткости и инерции.

Обобщенные силы для уравнений Лагранжа находятся по виртуальной работе:

$$\int_0^l (f_y \delta u_y + f_z \delta u_z) dx = Q_y^T \delta U_y + Q_z^T \delta U_z, \quad Q_y = \int_0^l f_y \varphi dx \quad (14)$$

и аналогично столбец Q_z . Здесь $f_{y,z}$ – компоненты погонной нагрузки.

Уравнения Лагранжа и их решение

Сократив запись (5), (6) введением блочных столбцов и матриц

$$U = \begin{pmatrix} U_y \\ U_z \end{pmatrix}, \quad M = \begin{pmatrix} m & 0 \\ 0 & m \end{pmatrix}, \quad C = \begin{pmatrix} C_y & C_{yz} \\ C_{yz} & C_z \end{pmatrix}, \quad Q = \begin{pmatrix} Q_y \\ Q_z \end{pmatrix} \quad (15)$$

запишем уравнения Лагранжа

$$\left(\frac{\partial K}{\partial \dot{U}}\right)' - \frac{\partial K}{\partial U} = -\frac{\partial \Pi}{\partial U} + Q \Rightarrow M\ddot{U} + CU = Q(t) \quad (16)$$

В случае свободных колебаний ($Q=0$) рассматривают главные колебания с собственными формами Φ и частотами λ :

$$U(t) = \Phi \sin \lambda t; (C - \lambda^2 M)\Phi = 0 \quad (17)$$

Здесь имеем обобщенную задачу на собственные значения, решаемую в *Mathcad* встроенными процедурами.

Формы колебаний Φ_i обладают известными свойствами ортогональности. Нормируя их, получим $\Phi_i^T M \Phi_k = \delta_{ik}$, $\Phi_i^T C \Phi_k = \lambda_i^2 \delta_{ik}$. Раскладывая прогибы по формам, придем к главным координатам V_i :

$$U(t) = \sum_{i=1}^{2n} V_i(t) \Phi_i = \Gamma V, \Gamma = (\Phi_1 \dots \Phi_n) \quad (18)$$

Базисная матрица Γ составлена из столбцов форм. В главных координатах будет

$$K = \frac{1}{2} \sum \dot{V}_i^2, \Pi = \frac{1}{2} \sum \lambda_i^2 V_i^2, \underline{\dot{V}_i + \lambda_i^2 V_i = P_i(t)}, P = \Gamma^T Q \quad (19)$$

Подчеркнутое уравнение решается с помощью интеграла Дюамеля

$$V_i = V_i(0) \cos \lambda_i t + \dot{V}_i(0) \lambda_i^{-1} \sin \lambda_i t + \lambda_i^{-1} \int_0^t P_i(\tau) \sin \lambda_i (t - \tau) d\tau \quad (20)$$

Формулы (20), (18) и (11) дают решение задачи о вынужденных колебаниях, если известны частоты и формы.

Набор частот и базисная матрица Γ находятся алгоритмами *genvals* и *genvecs*.

Аппроксимация прогибов (11) принята с числом членов $n=5$. Тогда число степеней свободы, частот и форм $2n=10$. На рис. 4 представлены результаты для первой, пятой и девятой форм:

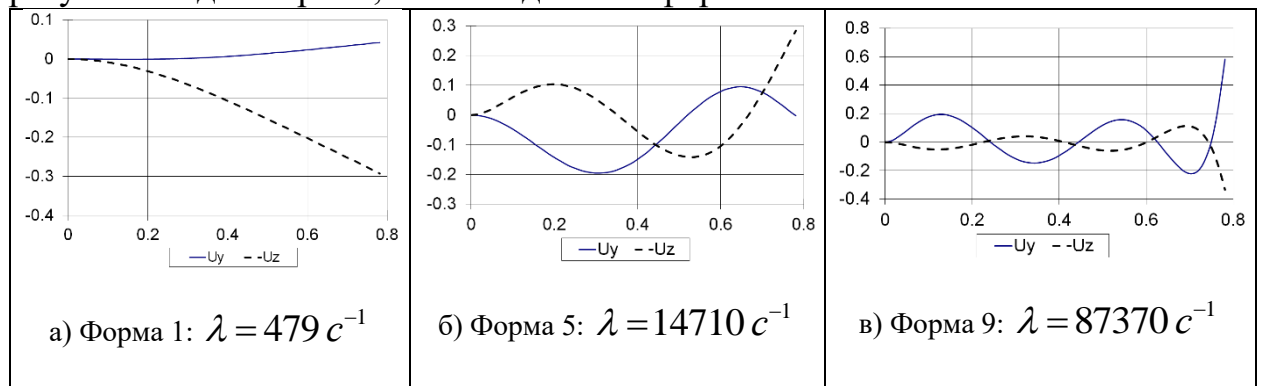


Рисунок 4. Собственные формы лопатки

Далее рассмотрим пример расчета нестационарных вынужденных колебаний. Распределенные нагрузки заданы в виде

$$f_{y,z}(x,t) = f_{y,z}(x) \cos(\omega(t)t), \omega(t) = \lambda_0 + \dot{\lambda}t \quad (21)$$

где $f_{y,z}(x)$ – предоставленные результаты по аэродинамике лопатки, а $\lambda_0, \dot{\lambda}$ – заданные константы. Имеем внезапно приложенную нагрузку с проходом через резонанс, λ_0 меньше одной из собственных частот. Расчет по вышеизложенной методике не вызывает трудностей, интегралы (21) вычисляются посредством *Mathcad*.

Однако заметим, что благодаря компьютерной математике предварительный расчет частот и форм перестает быть обязательным – можно сразу проинтегрировать систему ОДУ (8). Представляем ее в виде

$$\dot{U} = v, \dot{v} = M^{-1}(Q - CU) \quad (22)$$

и обращаемся к процедуре *radau*. Это специальный метод решения жестких систем ОДУ, входящий в набор встроенных в системы компьютерной математики. Традиционные методы Рунге–Кутты оказались для системы (22) неэффективными.

На рис. 5 представлены результаты для прохода через первый резонанс при $f_y(x) = 1000 = -f_z(x)$, $\lambda_0 = 470$, $\dot{\lambda} = 2$. Амплитуда колебаний ≈ 4 см – слишком много.

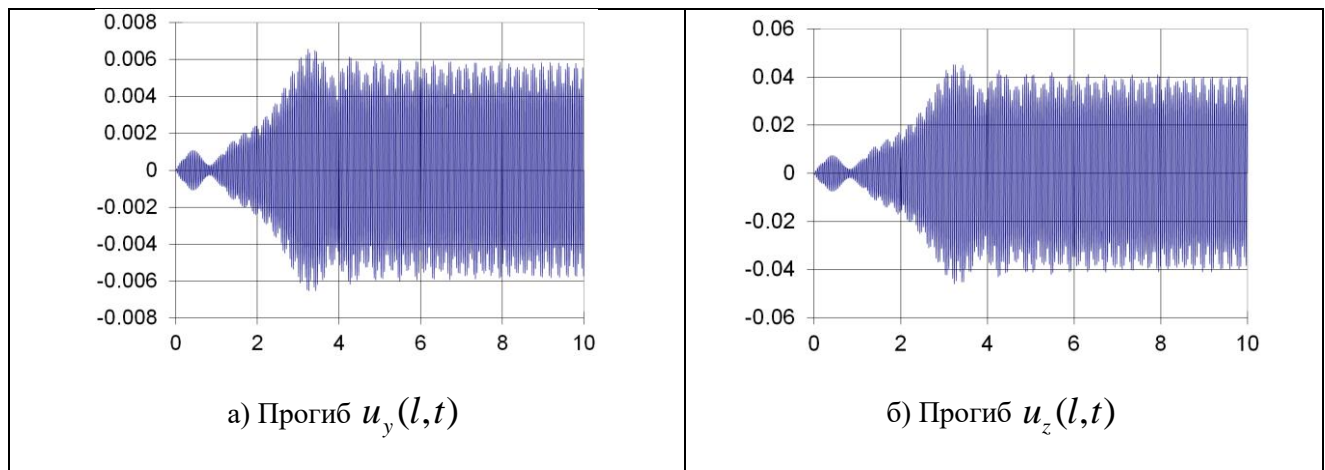


Рисунок 5. График динамического прогиба концевого сечения лопатки

Отметим, что при вынужденных гармонических колебаниях система (22) для амплитуд становится неоднородной и решается с встроенной функцией *lsolve*.

Заключение

Итак, разработана методика расчета колебаний лопаток как закрученных стержней с использованием уравнений Лагранжа. Преимуществами данного метода являются легкость осуществления расчетов в системе компьютерной математики и быстрота вычислений. Также можно отметить малую стоимость по сравнению с анализом трехмерных моделей в коммерческих пакетах.

Лопатка турбины как оболочка

Геометрия лопатки, исследуемой в этой работе, представлена на рисунке 6, она образована смещением тонкого прямоугольного сечения вдоль декартовой оси z с одновременным поворотом его на угол αz вокруг этой оси (α – параметр крутки). Ось z проходит через центры тяжести сечений. Декартовы оси x', y' (с ортами $\mathbf{i}_0, \mathbf{j}_0$) фиксированы, а оси x, y (с ортами \mathbf{i}, \mathbf{j}) повернуты с фигурой сечения. Сечение лопатки – прямоугольник высотой h , ширина которого зависит от осевой координаты z (рис. 7).

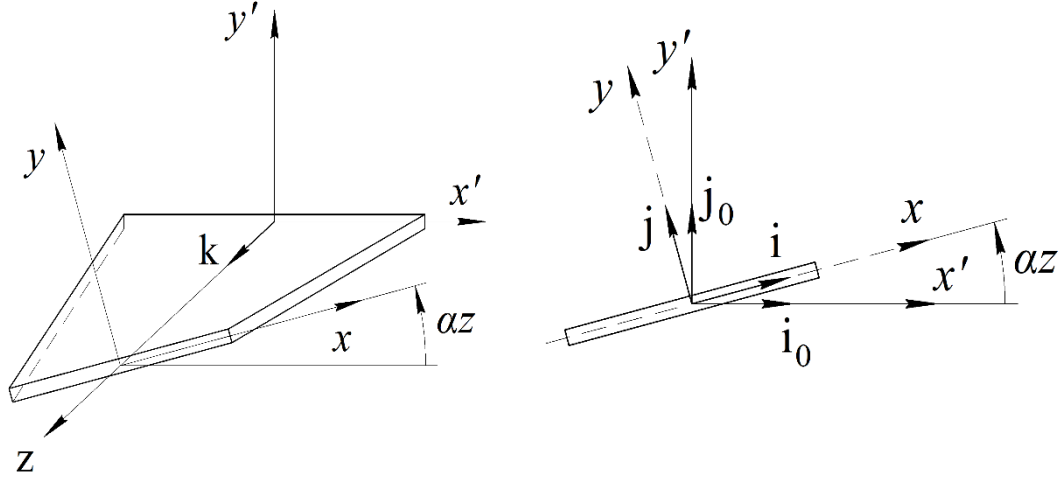


Рис. 6. Геометрия лопатки-оболочки

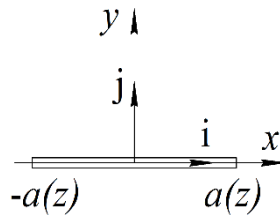


Рисунок 7. Сечение лопатки-оболочки

Такая лопатка моделируется тонкой оболочкой толщины h , срединная поверхность которой описывается радиус-вектором:

$$\mathbf{r}(z, x) = z\mathbf{k} + x\mathbf{i}(z), \quad -a(z) \leq x \leq a(z). \quad (23)$$

Учитывая формулы дифференцирования ортов $\mathbf{i}' = \alpha\mathbf{j}$, $\mathbf{j}' = -\alpha\mathbf{i}$, построим базис в касательной плоскости:

$$\mathbf{r}_1 = \partial_z \mathbf{r} = \mathbf{k} + \alpha x \mathbf{j} \equiv H\mathbf{e}, \quad H = \sqrt{1 + \alpha^2 x^2}, \quad \mathbf{r}_2 = \partial_x \mathbf{r} = \mathbf{i}$$

и вектор нормали:

$$\mathbf{n} = \frac{\mathbf{r}_1 \times \mathbf{r}_2}{|\mathbf{r}_1 \times \mathbf{r}_2|} = \frac{1}{H} (\mathbf{j} - \alpha x \mathbf{k}).$$

После введения кобазиса

$$\mathbf{r}^1 = \frac{1}{H} \mathbf{e} = \frac{1}{H^2} (\mathbf{k} + \alpha x \mathbf{j}), \quad \mathbf{r}^2 = \mathbf{i},$$

получим выражение для оператора Гамильтона:

$$\nabla = \mathbf{r}^i \partial_i = \frac{1}{H} \mathbf{e} \partial_z + \mathbf{i} \partial_x.$$

Затем найдем первый и второй метрический тензор:

$$\mathbf{a} = \nabla \mathbf{r} = \mathbf{r}^\beta \mathbf{r}_\beta = \mathbf{e} \mathbf{e} + \mathbf{i} \mathbf{i}, \quad \mathbf{b} = -\nabla \mathbf{n} = \frac{\alpha}{H^2} (\mathbf{e} \mathbf{i} + \mathbf{i} \mathbf{e})$$

Представим вектор перемещений оболочки в виде:

$$\mathbf{u} = u_x \mathbf{i} + u_y \mathbf{j} + u_z \mathbf{k}. \quad (24)$$

Деформации оболочки в касательной плоскости заданы тензором

$$\begin{aligned} \boldsymbol{\varepsilon} &= (\nabla \mathbf{u})_{\perp}^S = \varepsilon_x \mathbf{i} \mathbf{i} + \varepsilon_1 \mathbf{e} \mathbf{e} + \varepsilon_{1x} (\mathbf{e} \mathbf{i} + \mathbf{i} \mathbf{e}), \\ \varepsilon_x &= \partial_x u_x, \quad \varepsilon_1 = \frac{1}{H^2} [\alpha x (\alpha u_x + u'_y) + u'_z], \\ \varepsilon_{1x} &= \varepsilon_{x1} = \frac{1}{2H} [u'_x - \alpha u_y + \alpha x \partial_x u_y + \partial_x u_z], \end{aligned} \quad (25)$$

здесь и далее $(\dots)'$ означает дифференцирование по координате z .

Поворот нормали выражается через перемещение по формулам:

$$\begin{aligned} \boldsymbol{\varphi} &= -\nabla \mathbf{u} \cdot \mathbf{n} = \varphi_x \mathbf{i} + \varphi_y \mathbf{j} + \varphi_z \mathbf{k}, \\ \varphi_x &= \frac{1}{H} (\alpha x \partial_x u_z - \partial_x u_y), \quad \varphi_y = \frac{\alpha x}{H^3} (\alpha x u'_z - u'_y - \alpha u_x), \\ \varphi_z &= \frac{1}{H^3} (\alpha x u'_z - u'_y - \alpha u_x) \end{aligned} \quad (26)$$

Второй тензор деформации определяет изгиб и кручение оболочки:

$$\begin{aligned} \boldsymbol{\kappa} &= -(\nabla \boldsymbol{\varphi})_{\perp} + \mathbf{b} \cdot \nabla \mathbf{u}^T = \kappa_x \mathbf{i} \mathbf{i} + \kappa_1 \mathbf{e} \mathbf{e} + \kappa_{1x} (\mathbf{e} \mathbf{i} + \mathbf{i} \mathbf{e}), \\ \kappa_x &= -\partial_x u_x + \frac{\alpha}{H^3} [\alpha x \partial_x u_y + \partial_x u_z], \\ \kappa_1 &= -\frac{1}{H^2} [\alpha x (\alpha \varphi_x + \varphi'_y) + \varphi'_z] + \frac{\alpha}{H^3} (u'_x - \alpha u_y), \\ \kappa_{1x} &= \kappa_{x1} = \frac{1}{H} [-\varphi'_x + \alpha \varphi_y] + \frac{\alpha}{H^2} \partial_x u_x. \end{aligned} \quad (27)$$

После определения всех компонент тензоров деформаций можно воспользоваться соотношениями упругости, уравнениями баланса сил и моментов и свести задачу к системе дифференциальных уравнений в частных производных относительно компонент перемещения. А затем решить эту систему, например, методом конечных разностей. Однако мы применим подход с уравнениями Лагранжа:

$$\left(\frac{\partial K}{\partial \dot{q}_i} \right)' - \frac{\partial K}{\partial q_i} = -\frac{\partial \Pi}{\partial q_i} + Q_i. \quad (28)$$

Для этого необходимо сначала вычислить потенциальную Π и кинетическую K энергии оболочки.

Энергия лопатки

Потенциальная энергия деформации (на единицу площади) изотропной оболочки может быть найдена по формуле:

$$\Pi = \frac{Eh}{2(1-\nu^2)} \left[\nu \varepsilon^2 + (1-\nu) \boldsymbol{\varepsilon} \cdot \boldsymbol{\varepsilon} + \frac{h^2}{12} \left(\nu \boldsymbol{\kappa}^2 + (1-\nu) \boldsymbol{\kappa} \cdot \boldsymbol{\kappa} \right) \right] \quad (29)$$

где E – модуль Юнга, h – толщина, ν – коэффициент Пуассона, $\boldsymbol{\varepsilon}, \boldsymbol{\kappa}$ – следы тензоров деформации. Отметим, что элемент площади геликоидальной оболочки равен $dO = \mathbf{r}_1 \times \mathbf{r}_2 \cdot \mathbf{n} dz dx = H dz dx$, поэтому полная энергия деформации найдется интегрированием:

$$\Pi = \int \Pi dO = 2 \int_0^{La(z)} \int_0^0 \Pi H dz dx, \quad (30)$$

введено обозначение L длины оболочки.

Нам понадобится и полная кинетическая энергия оболочки:

$$K = \int \rho h |\dot{\mathbf{u}}|^2 dO = 2 \int_0^{La(z)} \int_0^0 \rho h \left(\dot{u}_x^2 + \dot{u}_y^2 + \dot{u}_z^2 \right) H dz dx, \quad (31)$$

здесь и далее $(\dots)'$ означает дифференцирование по времени t , ρ – объемная плотность материала.

Мы будем рассматривать изгибные колебания оболочки, зададим аппроксимацию перемещения в виде:

$$\mathbf{u} = \mathbf{U}(z, t) - \mathbf{U}'(z, t) \cdot x \mathbf{i}_k + S(z, t) \left(x^2 - a^2(z) \right) \mathbf{j}. \quad (32)$$

Первые два слагаемых соответствуют элементарной теории балки с вектором прогиба \mathbf{U} :

$$\mathbf{U}(z, t) = U_x(z, t) \mathbf{i}_0 + U_y(z, t) \mathbf{j}_0. \quad (33)$$

Третье слагаемое в (10) задает деформацию сечения в своей плоскости по квадратичному закону. Записанная аппроксимация позволяет выразить все неизвестные задачи через три новые функций U_x, U_y, S , зависящие только от одной координаты z как в теории стержней. Для выражения потенциальной и кинетической энергии через эти функции используем соотношения:

$$\begin{aligned} u_x &= U_x(z, t) \cos(\alpha z) + U_y(z, t) \sin(\alpha z), \\ u_y &= U_y(z, t) \cos(\alpha z) - U_x(z, t) \sin(\alpha z) + S(z, t) \left[x^2 - a^2(z) \right], \\ u_z &= -x \left[U_x'(z, t) \cos(\alpha z) + U_y'(z, t) \sin(\alpha z) \right]. \end{aligned} \quad (34)$$

Применение метода Ритца-Канторовича

Перед использованием уравнений Лагранжа (28) необходимо ввести обобщенные координаты q_i и выразить через них энергию оболочки.

Перейдем от континуальной модели оболочки к дискретной посредством аппроксимации введенных нами функций, следуя методу Ритца-Канторовича:

$$\begin{aligned} U_x(z,t) &= \sum_{i=1}^N U_{xi}(t)\Phi_i(z) = U_x^T \Phi, \quad U_y(z,t) = \sum_{i=1}^N U_{yi}(t)\Phi_i(z) = U_y^T \Phi, \\ S(z,t) &= \sum_{i=1}^N S_i(t)\Psi_i(z) = S^T \Psi. \end{aligned} \quad (35)$$

(здесь использованы матричные обозначения). В качестве обобщенных координат q_i будем рассматривать функции $U_{xi}(t), U_{yi}(t), S_i(t)$ в разложениях (35), эти координаты будут найдены решением уравнений Лагранжа. Координатные функции задаются с соблюдением условий закрепления: поскольку корневое сечение $z=0$ лопатки заделано, то $\Phi(0) = \Phi'(0) = \Psi(0) = 0$. Этим условиям удовлетворяют, например, степенные зависимости:

$$\Phi_1 = z^2, \Phi_2 = z^3, \dots, \Psi_1 = z, \Psi_2 = z^2, \dots \quad (36)$$

С аппроксимациями энергия оболочки по формулам (30), (31) выражается квадратичными формами:

$$\begin{aligned} 2\Pi &= U_x^T C_{xx} U_x + U_y^T C_{yy} U_y + 2U_x^T C_{xy} U_y + \\ &+ S^T C_{ss} S + 2U_x^T C_{xs} S + 2U_y^T C_{ys} S, \\ 2K &= \dot{U}_x^T M_{xx} \dot{U}_x + \dot{U}_y^T M_{yy} \dot{U}_y + 2\dot{U}_x^T M_{xy} \dot{U}_y + \\ &+ \dot{S}^T M_{ss} \dot{S} + 2\dot{U}_x^T M_{xs} \dot{S} + 2\dot{U}_y^T M_{ys} \dot{S} \end{aligned} \quad (37)$$

Здесь введены матрицы жесткости и инерции, они не представлены в силу их громоздкости.

В правой части уравнений Лагранжа стоят обобщенные силы, они определяются по выражению виртуальной работы внешней нагрузки. Пусть на лопатку действует сила в направлении оси y' : $\mathbf{P} = p(t)\mathbf{j}_0$, ее виртуальная работа

$$\begin{aligned} \delta A &= \int_0^L \mathbf{P} \cdot \delta \mathbf{u} dO = \sum_i Q_{yi}(t) \delta U_{yi}(t) + \sum_i S_i(t) \delta S_i(t) = Q_y^T \delta U_y + Q_s^T \delta S, \\ Q_{yi}(t) &= p(t) \int_{0-a(z)}^{L+a(z)} \Phi_i(z) H(x) dz dx, \\ S_i(t) &= p(t) \int_{0-a(z)}^{L+a(z)} \Psi_i(z) \cos(\alpha z) (x^2 - a^2(z)) H(x) dz dx, \end{aligned} \quad (38)$$

обобщенные силы, соответствующие координатам U_{xi} , равны нулю.

Уравнения Лагранжа (6) примут вид:

$$M\ddot{U} + CU = Q(t), \quad (39)$$

где введены блочные столбцы и матрицы

$$M \equiv \begin{pmatrix} M_{xx} & M_{xy} & M_{xs} \\ M_{xy} & M_{yy} & M_{ys} \\ M_{xs} & M_{ys} & M_{ss} \end{pmatrix}, \quad U \equiv \begin{pmatrix} U_x \\ U_y \\ S \end{pmatrix}, \quad C \equiv \begin{pmatrix} C_{xx} & C_{xy} & C_{xs} \\ C_{xy} & C_{yy} & C_{ys} \\ C_{xs} & C_{ys} & C_{ss} \end{pmatrix}, \quad Q(t) \equiv \begin{pmatrix} Q_x \\ Q_y \\ Q_s \end{pmatrix}.$$

Расчет вынужденных колебаний лопатки

Рассчитаем амплитуду установившихся колебаний лопатки под действием вынуждающей силы $\mathbf{P} = p_0 \sin(\omega t) \mathbf{j}_0$, $p_0 = \text{const}$. Для столбцов амплитуд из (39) будем иметь:

$$(C - \omega^2 M)U = Q. \quad (40)$$

Решив эту СЛАУ, найдем все обобщенные координаты, а по ним и перемещения.

В системе компьютерной математики Mathematica исследована модель со следующими параметрами: $\alpha \approx 1,745$, $h = 0,01$ м, $L = 0,3$ м, $\rho = 7800$ кг/м³, $\nu = 0,3$, $E = 2 \cdot 10^{11}$ Па и размером поперечного сечения, меняющимся от 0,4 м до 0,2 м. Построены все глобальные матрицы, решена система уравнений Лагранжа с параметрами вынуждающей силы $p_0 = 10^4$ Н, $\omega = 3000$ об/мин. Результаты расчета вынужденных колебаний представлены на рисунках 3, 4:

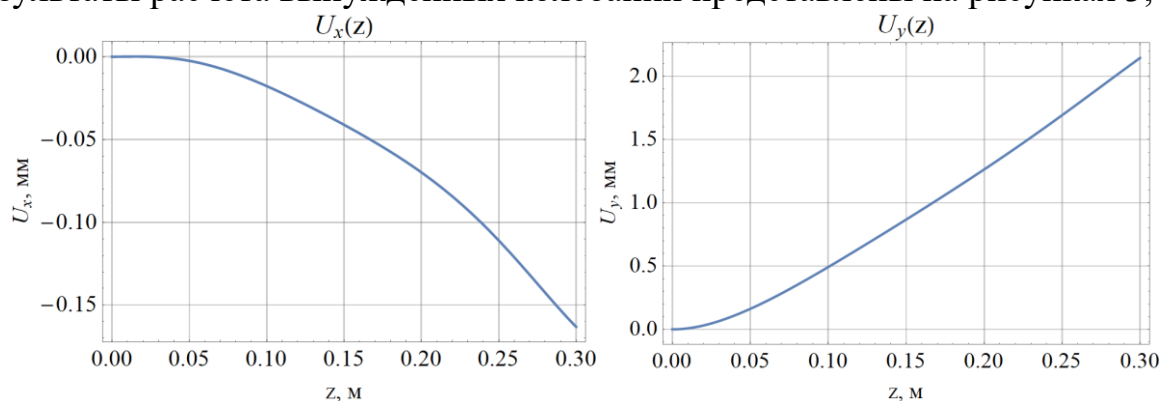


Рисунок 8. Прогибы $U_x(z)$, $U_y(z)$

Разработанный в работе алгоритм позволяет рассчитывать и нестационарные колебания турбинной лопатки.

Удары капель жидкости по поверхности тела, вызывающие эрозию, рассматриваются как упругое контактное взаимодействие. Средствами теории упругости и компьютерной математики определено напряженное состояние тела и найдены параметры нагрузки, при которой начинаются пластические деформации. Выведена формула для скорости капель, при которой начинается эрозия.

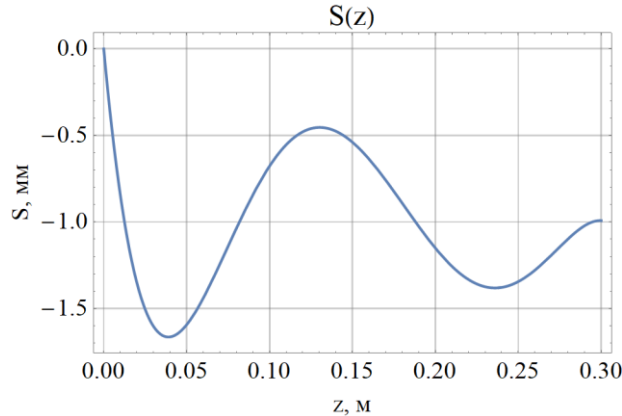


Рисунок 9. Функция $S(z)$

Моделирование каплеударной эрозии

В лопаточных машинах наблюдается такое явление, как каплеударная эрозия (далее – КЭ) – разрушение поверхности тела, находящейся под воздействием струи газа с каплями жидкости. Этому явлению посвящено много исследований, экспериментальных и теоретических. Результаты отражены не только в виде многих статей, но также и монографий.

Для полного понимания сущности КЭ желательно разобраться в двух процессах: гидродинамике капли при ударе о поверхность тела и деформировании тела локальной ударной нагрузкой. Многие авторы считают причиной КЭ накопление пластических контактных деформаций. Такая точка зрения принимается и в данной работе.

Целью работы является математическое моделирование возникновения КЭ посредством решения контактной задачи теории упругости. Тело считается упругим полупространством, а капля – шариком радиусом R , падающим с некоторой скоростью v (рис. 10). Предпринята попытка построения на плоскости параметров v, R границы области, в которой КЭ не возникает. Работа опирается на литературу по контактным задачам теории упругости, а также компьютерную математику. Именно последняя (*Mathcad*) позволила довести классическое решение контактной задачи по Герцу до полной картины контактных напряжений в теле.

Формулы Герца

В результате решения задачи линейной теории упругости о контактом взаимодействии полупространства и шара (рис. 10) выведены следующие известные формулы Герца:

$$\frac{1}{R} = \frac{3Q\beta}{4a^3}, \delta = \left(\frac{3Q\beta}{4} \right)^{2/3} R^{-1/3}; Q = p_0 \frac{2}{3} \pi a^2, \beta \equiv \frac{1-\nu_0^2}{E_0} + \frac{1-\nu^2}{E} \quad (41)$$

Обозначено: Q – прижимающая сила, a – радиус контактного круга, δ – сближение тел; E, E_0 – модули Юнга материалов (нолик относится к шару), ν, ν_0 – коэффициенты Пуассона.

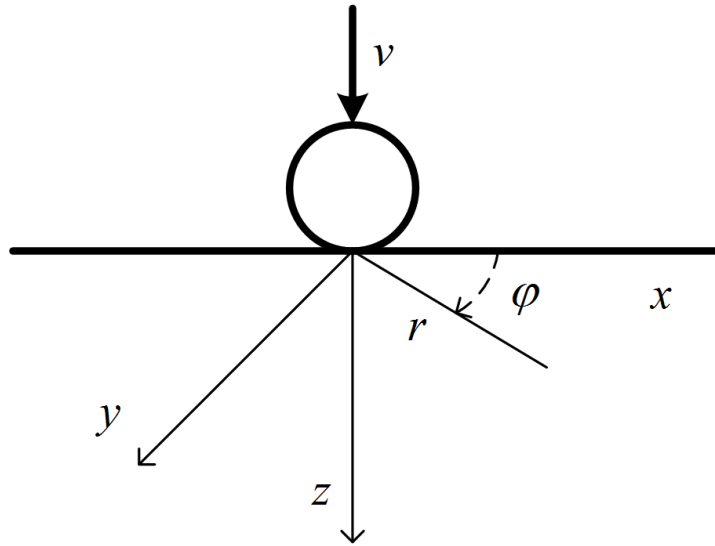


Рисунок 10. Расчетная схема контакта

Для контактного давления и силы имеем формулы

$$p(r) = p_0 \sqrt{1 - \left(\frac{r}{a}\right)^2}, \quad Q = 2\pi \int_0^a p(r) r dr,$$

так что p_0 – значение в центре.

Нелинейное соотношение между силой и сближением можно выразить через потенциальную энергию взаимодействия Π :

$$Q = \frac{4}{3\beta} R^{1/2} \delta^{3/2} = \Pi'(\delta),$$

$$\Pi = \frac{4}{3\beta} R^{1/2} \frac{2}{5} \delta^{5/2} = \frac{2}{5} R^{-1/3} \left(\frac{3\beta}{4}\right)^{2/3} Q^{5/3} \quad (42)$$

Эти формулы можно использовать для расчета максимального сближения и силы при ударе. По закону сохранения энергии (m – масса шарика, ρ_0 – плотность)

$$\Pi = \frac{1}{2} mv^2, \quad m = \frac{4}{3} \pi R^3 \rho_0 \quad (43)$$

Однако формул Герца недостаточно для определения напряженно-деформированного состояния (НДС) тела.

Контактные напряжения в полупространстве

Для бесконечного тела нельзя применять распространенные программы конечноэлементного анализа (ANSYS). Зато весьма эффективны классические аналитические подходы. Например, решение Папковича-Нейбера, представляющее вектор перемещения \mathbf{u} через гармонические функции:

$$\mathbf{u} = -z \bar{\nabla} B - \bar{\nabla} B_0 + [(3 - 4\nu) B - z \partial_z B - \partial_z B_0] \mathbf{k} \quad (44)$$

Здесь \mathbf{k} – орт оси z (рис. 1), $\bar{\nabla}$ – оператор Гамильтона в перпендикулярной плоскости, B, B_0 – гармонические скаляры ($\Delta B = \Delta B_0 = 0$ – с оператором Лапласа); $\partial_z \equiv \partial/\partial z$.

Определив перемещения (44), деформации и далее напряжения (по закону Гука), обращаются к граничным условиям. На плоскости $z=0$ отсутствуют касательные напряжения, а нормальное напряжение равно нулю вне контактного круга и давлению с минусом – в круге. В результате, во-первых, находится соотношение

$$(1 - 2\nu)B = \partial_z B_0 \Rightarrow B_0 = -(1 - 2\nu) \int_z^\infty B dz \quad (45)$$

Во-вторых, для гармонической функции B получается задача Неймана с заданной нормальной производной на границе, решаемая с потенциалом простого слоя (контактного круга):

$$B(\mathbf{r}) = \frac{1}{4\pi\mu} \int \frac{p(\mathbf{r}_1)}{|\mathbf{r} - \mathbf{r}_1|} d\sigma_1 \quad (46)$$

Здесь $\mu = E/2(1 + \nu)$ – модуль сдвига, \mathbf{r} – радиус-вектор в полупространстве; \mathbf{r}_1 – радиус-вектор на площадке контакта – по ней производится интегрирование.

Рассматриваемая задача осесимметричная, поэтому используем цилиндрические координаты r, φ, z (рис. 10). При этом компоненты векторов и тензоров будут функциями лишь двух переменных r, z . Формулу (46) можно записать в виде

$$B(r, z) = \frac{P_0}{4\pi\mu} \int_0^{2\pi} d\theta \int_0^a f(r, z, \rho, \theta) d\rho, \quad (47)$$

$$f \equiv \frac{\rho \sqrt{1 - (\rho/a)^2}}{\sqrt{r^2 - 2r\rho \cos\theta + \rho^2 + z^2}}$$

При интегрировании в круге по переменной \mathbf{r}_1 используются полярные координаты ρ, θ . Для радиус-вектора \mathbf{r} остаются r, φ, z , причем в осесимметричном случае можно считать $\varphi = 0$.

Двойной интеграл (47), зависящий от параметров r, z , вычисляется в *Mathcad*. Во избежание расходимости на оси z интегрируем по ρ не от нуля, а от некоторого малого значения (например, $\lambda = 10^{-2}a$). Дифференцировать по r, z можно под интегралом, используя символьные вычисления – понадобится далее при вычислении перемещений и деформаций.

Определяя вторую функцию B_0 согласно (45), получим для нее интеграл как в (47), но вместо f будет

$$f_0(r, z, \rho, \theta) = -(1 - 2\nu)\rho\sqrt{1 - (\rho/a)^2}G(z, \xi),$$

$$G(z, \xi) \equiv \ln(z^2 + \sqrt{z^2 + \xi}) \Big|_z^M, M \rightarrow \infty; \quad (48)$$

$$\xi \equiv r^2 - 2r\rho\cos\theta + \rho^2$$

Для сходимости интеграла в расчетах принималось $M = 10a$.

По найденным функциям B, B_0 найдем деформации:

$$\varepsilon_r = -\partial_r^2(zB + B_0), \varepsilon_\varphi = -\frac{1}{r}\partial_r(zB + B_0),$$

$$\varepsilon_z = 2(1 - 2\nu)\partial_z B - z\partial_z^2 B - \partial_z^2 B_0, \quad (49)$$

$$\varepsilon_{rz} = (1 - 2\nu)\partial_r B - z\partial_r\partial_z B - \partial_r\partial_z B_0$$

Введены компактные выражения частных производных. Подставив (49) в закон Гука, определим напряжения $\sigma_r, \sigma_\varphi, \sigma_z, \tau_{rz}$. Далее найдем компоненты девиатора напряжений и норму Мизеса τ :

$$S_r = \frac{1}{3}(2\sigma_r - \sigma_\varphi - \sigma_z), \dots, S_{rz} = \tau_{rz}; \tau = \sqrt{\frac{1}{2}(S_r^2 + S_\varphi^2 + S_z^2) + \tau_{rz}^2} \quad (50)$$

Выражения компонент S_φ, S_z отличаются заменой индексов.

Начало пластических деформаций определяется условием текучести

$$\tau(r, z) = k \quad (51)$$

где k – предел текучести материала. Для титана, например, $k = 500$ МПа. При достаточно слабом контактном воздействии (малая скорость капли) везде в материале будет $\tau < k$. Эрозия начнется, предположительно, при выполнении условия (51) в некоторой точке. Данный расчет должен показать, где и когда это произойдет.

В силу симметрии достаточно рассмотреть норму Мизеса на оси z : $\tau(0, z) = T(z)$. Построенный средствами Mathcad график этой функции – на рис. 11:

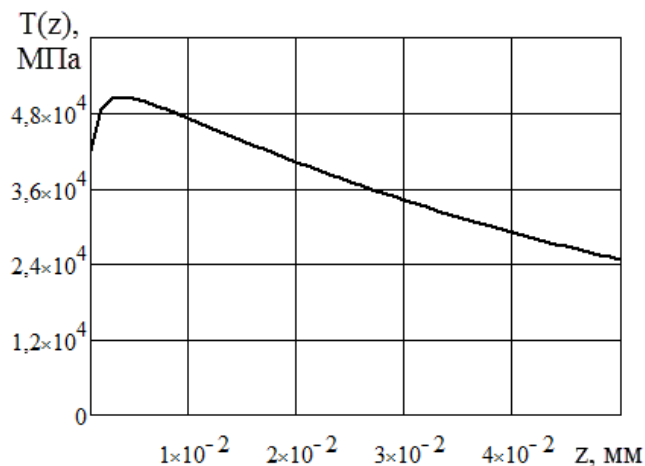


Рисунок 11. Зависимость нормы Мизеса от глубины

На графике видно, что максимум нормы Мизеса достигается не на поверхности, а очень близко от нее в глубине тела. График типичный, проведены десятки расчетов с различными параметрами. Радиус контактного круга для графика $a = 10^{-4}$ м. Другие параметры: $E = 10^{11}$ Па, $\nu = 0,3$, $k = 5 \cdot 10^8$ Па (титан). Считалось $p_0 = 1$, поскольку решение пропорционально этому множителю. Максимум на рис. 11 равен $T_1 = 5,06 \cdot 10^4$ МПа и достигается на глубине $z_1 = 3,96 \cdot 10^{-3}$ мм. При начале пластической деформации будет

$$p_0 T_1 = k \Rightarrow p_0 = 9,88 \cdot 10^{-3} \quad (52)$$

И оказалось, что значение p_0 не зависит от радиуса контактного круга a . Этот впечатляющий результат, впрочем, можно было предвидеть по соображениям подобия.

Расчет для удара капли

Все формулы для этого расчета уже представлены выше. Сначала из (41) находим силу Q при начале пластической деформации:

$$a = \left(\frac{3Q}{2\pi p_0} \right)^{1/2} = \left(\frac{3Q\beta R}{4} \right)^{1/3} \Rightarrow Q = \left(\frac{3\beta}{4} \right)^2 \left(\frac{2\pi p_0}{3} \right)^3 \quad (53)$$

Далее из (42), (43) определим соответствующую скорость капли

$$v = \frac{\beta^2 \pi^2}{2\sqrt{10\rho_0}} p_0^{5/2} = \frac{1,56 \cdot \beta^2}{\sqrt{\rho_0}} \cdot \left(\frac{k}{T_1} \right)^{2,5} \quad (54)$$

Константа T_1 определена выше (подчеркнуто). Величина скорости не зависит от радиуса капли R (удивительный результат) и по степенному закону зависит от предела текучести k и параметра β .

Но возникает серьезная проблема – свойства воды как упругого тела. Для любого изотропного тела имеем пару упругих модулей; например, модуль Юнга и коэффициент Пуассона. Или же модули изменения объема $K = E/3(1-2\nu)$ и сдвига μ . Модуль K для воды определяется известной скоростью распространения звука. А вот модуль сдвига обычно принимают равным нулю. Но тогда вся логика наших расчетов рушится – $\beta \rightarrow \infty$

Однако найдены экспериментальные данные по упругим свойствам воды, где сообщается: $\nu = 0,5$, $\mu = 1,3 \cdot 10^{-5}$. Используя эти значения вместе с результатом (52) в формуле (54), получим критическое значение скорости капли $v = 177$ м/с.

Результаты

1. Разработаны математические модели различной размерности, применимые для моделирования вибрационного напряжённо-деформируемого состояния лопаток турбин с различным соотношением длины и размера поперечного

сечения: одномерные (стержни) – для длинных лопаток, двумерные (оболочки) – для коротких.

2. Разработан подход, использующий теорию контактного взаимодействия, позволяющий оценить состояние лопатки, подверженной каплеударной эрозии.

В заключении перечислены основные результаты работы:

1. Поставлены и численно решены краевые задачи для соответствующих систем обыкновенных дифференциальных уравнений линейной механики стержней для свободных и вынужденных колебаний.

2. Проведен модальный анализ.

3. Построены вибрационные диаграммы.

4. Исследованы колебания лопатки как геликоидальной оболочки.

5. Решена контактная задача взаимодействия капли и упругого полупространства лопатки.

Список работ, опубликованных по теме научно-квалификационной работы (диссертации)

В изданиях из перечня ВАК:

1. Елисеев, В.В. Анализ деформаций турбинных лопаток на основе полной одномерной модели/ В.В. Елисеев, А.А. Москалец, Е.А. Оборин // Тяжелое машиностроение. М.: Фонд поддержки и развития Научно-производственного объединения «Центральный научно-исследовательский институт технологии машиностроения», 2015. – № 5. – с. 35-38.

2. Елисеев, В.В. Применение уравнений Лагранжа для расчета колебаний лопаток/ В.В. Елисеев, А. А. Москалец, Е. А. Оборин // Справочник. Инженерный журнал с приложением. М.: ООО «Издательский дом "Спектр"», 2015. – № 8. – с. 21-24.

3. Елисеев, В.В. Оценка опасности каплеударной эрозии методами теории контактных упругих деформаций / В.В. Елисеев, А.А. Москалец // Известия Самарского научного центра РАН, 2016. – №1 (2). – с. 296-299.

В изданиях, индексируемых Scopus:

4. Yeliseyev, V.V. Computational technique of plotting Campbell diagrams for turbine blades // *Advances in Mechanical Engineering*. Springer international Publishing, Switzerland, 2016. – p. 37-44.

5. Yeliseyev, V.V. One-Dimensional Models in Turbine Blades Dynamics / V.V. Yeliseyev, A.A. Moskalets, E.A. Oborin // *Advances in Mechanical Engineering*. Springer international Publishing, Switzerland, 2016. – p. 93-104.

6. Yeliseyev, V.V. Application of the theory of contact elastic deformations for assessing the risk of destruction of turbine blades as a result of high-speed impact by steam particles / V.V. Yeliseyev, M.A. Skotnikova, A.A. Moskalets, N.A. Krylov // *International Review of Mechanical Engineering*. – 2017. – Vol. 11. – № 5. – p. 350-355.

7. Yeliseyev, V.V. Vibrations of turbine blades as elastic shells / V.V. Yeliseyev, A.A. Moskalets // *Advances in Mechanical Engineering*. Springer international Publishing, Switzerland, 2018 – p. 53-60.

8. Zinovieva, T.V. Modal Analysis of Turbine Blade as One-and Three-Dimensional Body / T.V. Zinovieva, A.A. Moskalets // *Advances in Mechanical Engineering*. Springer international Publishing, Switzerland, 2018 – p. 195-204.
9. Moskalets, A.A. Turbine blade vibration analysis using helicoidal shell model / A.A. Moskalets, T.V. Zinovieva, A.K. Belyaev // *Advanced Problems in Mechanics*, 2018. – p. 181-190.

В прочих изданиях:

10. Елисеев, В.В. Колебания турбинных лопаток как естественно закрученных стержней/ В.В. Елисеев, А. А. Москалец // *Неделя науки СПбГПУ: материалы научно-практической конференции с международным участием. Ч. I – СПб.: Изд-во Политехн. ун-та, 2014. – с. 88-90.*
11. Елисеев, В.В. Колебания турбинных лопаток как естественно закрученных стержней/ В.В. Елисеев, А. А. Москалец // *Современное машиностроение. Наука и образование. 2014. – № 4. – с. 344-350.*
12. Елисеев, В.В. Расчет колебаний турбинных лопаток вариационным методом/ В.В. Елисеев, А. А. Москалец // *Научный форум с международным участием «Неделя науки СПбГПУ»: материалы научно-практической конференции. Институт металлургии, машиностроения и транспорта СПбПУ. Ч. 2. – СПб.: Изд-во Политехн. ун-та, 2015. – 432 с.*
13. Елисеев, В.В. Расчетный метод построения диаграмм Кэмпбелла для турбинных лопаток/ В.В. Елисеев, А.А. Москалец // *Неделя науки СПбГПУ: материалы научно-практической конференции с международным участием. Ч. I – СПб.: Изд-во Политехн. ун-та, 2015. – с. 73-75.*
14. Елисеев, В.В. Расчетный метод построения диаграмм Кемпбелла для турбинных лопаток/ В.В. Елисеев, А. А. Москалец // *Современное машиностроение. Наука и образование. 2016. – № 5. – с. 413-420.*
15. Елисеев, В.В. Применение метода Лагранжа-Ритца-Канторовича к анализу колебаний турбинных лопаток / В.В. Елисеев, А.А. Москалец // *Вестник НТУ ХПИ. Сборник научных трудов. Серия: Энергетические и теплотехнические процессы и оборудование. – Харьков, НТУ «ХПИ», 2016. – № 8. – с. 149-152.*
16. Зиновьева, Т.В. Модальный анализ турбинной лопатки как одномерного и трехмерного тела / Т.В. Зиновьева, А. А. Москалец // *Современное машиностроение. Наука и образование. 2017. – № 6. – с. 346-355.*
17. Елисеев, В.В. Колебания турбинных лопаток как упругих оболочек / В.В. Елисеев, А. А. Москалец // *Современное машиностроение. Наука и образование. 2017. – № 6. – с. 356-366.*
18. Зиновьева, Т.В. Вынужденные колебания турбинной лопатки как геликоидальной оболочки / Т.В. Зиновьева, А. А. Москалец // *Современное машиностроение. Наука и образование. – 2018. – № 7. – с. 322-329.*